

SPring-8/SACLA 研究成果公表 論文サイテーション数調査 -2015-

公益財団法人高輝度光科学研究センター
利用推進部 利用情報課

1. 概要

SPring-8/SACLA 利用研究者が発表した論文の総数と被引用数

●集計対象論文：SPring-8/SACLA 成果登録 DB に登録された成果中、サイテーション値の取得が可能な論文について集計した。

調査期間：2015/05/01-2015/05/02

| SPring-8 | 1997-2015*2(総累積) | | | 2004-2014(11年間累積) | | | 2013(2年経過値) | | |
|-----------------------------|------------------|--------|--------|-------------------|--------|--------|-------------|--------|--------|
| | 累積論文数 | 累積被引用数 | 平均被引用数 | 累積論文数 | 累積被引用数 | 平均被引用数 | 年間総論文数 | 累積被引用数 | 平均被引用数 |
| 全SPring-8[net] ¹ | 8972 | 170049 | 19.0 | 7447 | 119112 | 16.0 | 846 | 4317 | 5.1 |
| 共用BL ³ | 6330 | 119729 | 18.9 | 5324 | 89097 | 16.7 | 610 | 3252 | 5.3 |
| 専用BL ^{3*4} | 1843 | 32263 | 17.5 | 1576 | 21740 | 13.8 | 194 | 858 | 4.4 |
| 理研BL ³ | 1146 | 31710 | 27.7 | 904 | 16128 | 17.8 | 83 | 442 | 5.3 |
| その他(技術開発等) | 197 | 2732 | 13.9 | 93 | 1273 | 13.7 | 15 | 97 | 6.5 |

| SACLA | 2008-2015*2(総累積) | | | 2013(2年経過値) | | |
|--------------------------|------------------|--------|--------|-------------|--------|--------|
| | 累積論文数 | 累積被引用数 | 平均被引用数 | 年間総論文数 | 累積被引用数 | 平均被引用数 |
| 全SACLA[net] ¹ | 79 | 1191 | 15.1 | 21 | 174 | 8.3 |
| BL3 | 36 | 497 | 13.8 | 14 | 144 | 10.3 |
| その他(技術開発等) | 48 | 1017 | 21.2 | 11 | 93 | 8.5 |

●集計対象 BL³

共用 BL --- 計26本

BL01B1 BL02B1 BL04B1 BL08W BL09XU BL10XU BL39XU BL41XU BL47XU BL25SU BL27SU
BL02B2 BL04B2 BL20B2 BL28B2 BL40B2 BL40XU BL43IR BL38B1 BL46XU BL13XU BL20XU
BL35XU BL19B2 BL37XU BL14B2

専用 BL --- 計19本

BL14B1 BL23SU BL24XU BL11XU BL16XU BL16B2 BL44XU BL33LEP BL12B2 BL15XU BL32B2⁴
BL12XU BL22XU BL08B2 BL33XU BL03XU BL07LSU BL28XU BL36XU

理研 BL --- 計9本

BL45XU BL44B2 BL29XU BL19LXU BL26B1 BL26B2 BL17SU BL32XU BL43LXU

●備考

*1：成果登録 DB に登録された原著論文/博士論文/査読付きプロシーディングで、Thomson Reuters 社 Web of Science のサイテーション値を確認出来る論文数。

*2：2015年は、2015年1月1日から2015年4月30日までに発行された論文を集計対象とした。それ以外は、各年1月1日から12月31日までに発行された論文を集計対象とした。

*3：複数の BL に関連する成果は、それぞれの集計値に重複して集計した。

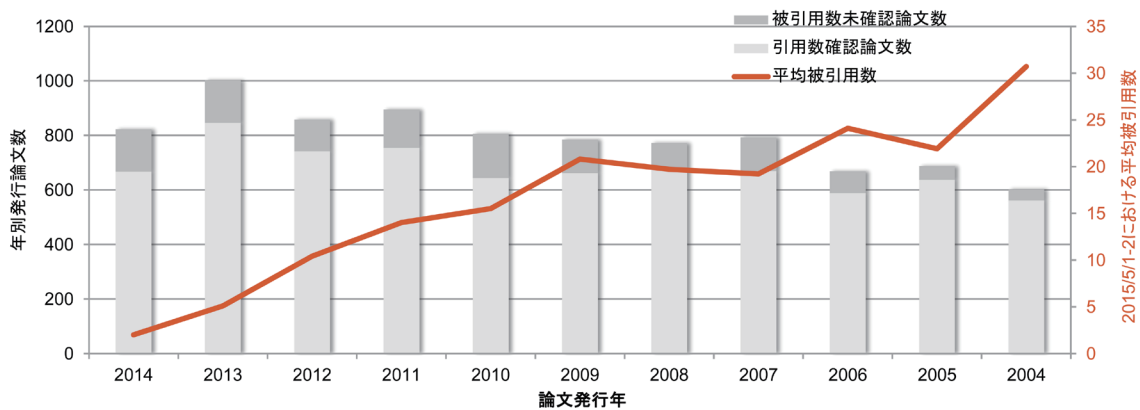
*4：BL32B2 (創薬産業 BL) は、専用 BL に含めた (2012/3/29に設置期間終了)。

*5：調査時における供用開始から2年以内の BL は対象外とした。 --- BL43XU (供用開始2011年10月)、BL28XU (同2012年4月)、BL31LEP (同2013年5月)

2. SPring-8の年別発行論文数と2015年5月1-2日における平均被引用数（2004-2014）

調査期間：2015/05/01-2015/05/02

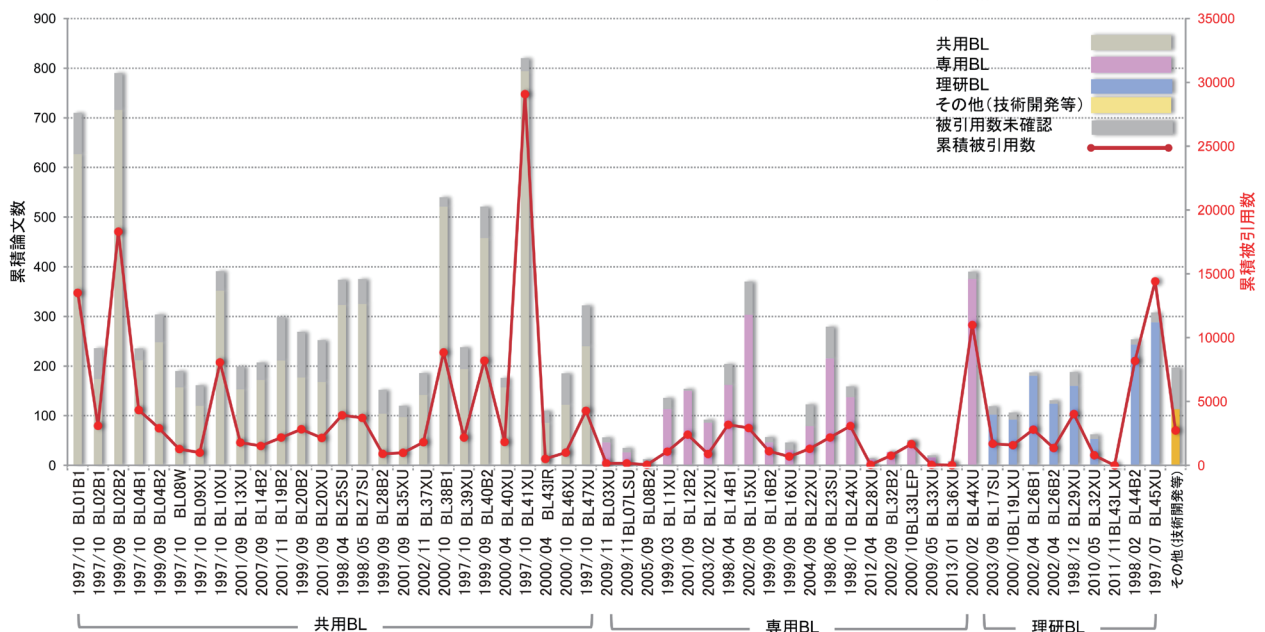
| SPring-8 | | 2014 | 2013 | 2012 | 2011 | 2010 | 2009 | 2008 | 2007 | 2006 | 2005 | 2004 |
|-----------------------------------|-----------|------|------|------|-------|------|-------|-------|-------|-------|-------|-------|
| 年別発行論文数 | 被引用数確認 | 667 | 846 | 742 | 754 | 644 | 662 | 677 | 669 | 588 | 637 | 561 |
| | 被引用数未確認*1 | 155 | 156 | 116 | 141 | 162 | 122 | 95 | 124 | 80 | 50 | 41 |
| 累積被引用数 | | 1303 | 4317 | 7741 | 10528 | 9982 | 13743 | 13337 | 12824 | 14192 | 13934 | 17211 |
| 平均被引用数 [累積被引用数/年別発行論文数-被引用数確認] | | 2.0 | 5.1 | 10.4 | 14.0 | 15.5 | 20.8 | 19.7 | 19.2 | 24.1 | 21.9 | 30.7 |



*1：検索 DB (Thomson Reuters Web of Science) 未登録のため、被引用数が確認出来ない論文は「被引用数未確認」に計上する。

3. SPring-8のBL 別累積論文数と累積被引用数の比較（1997-2015）

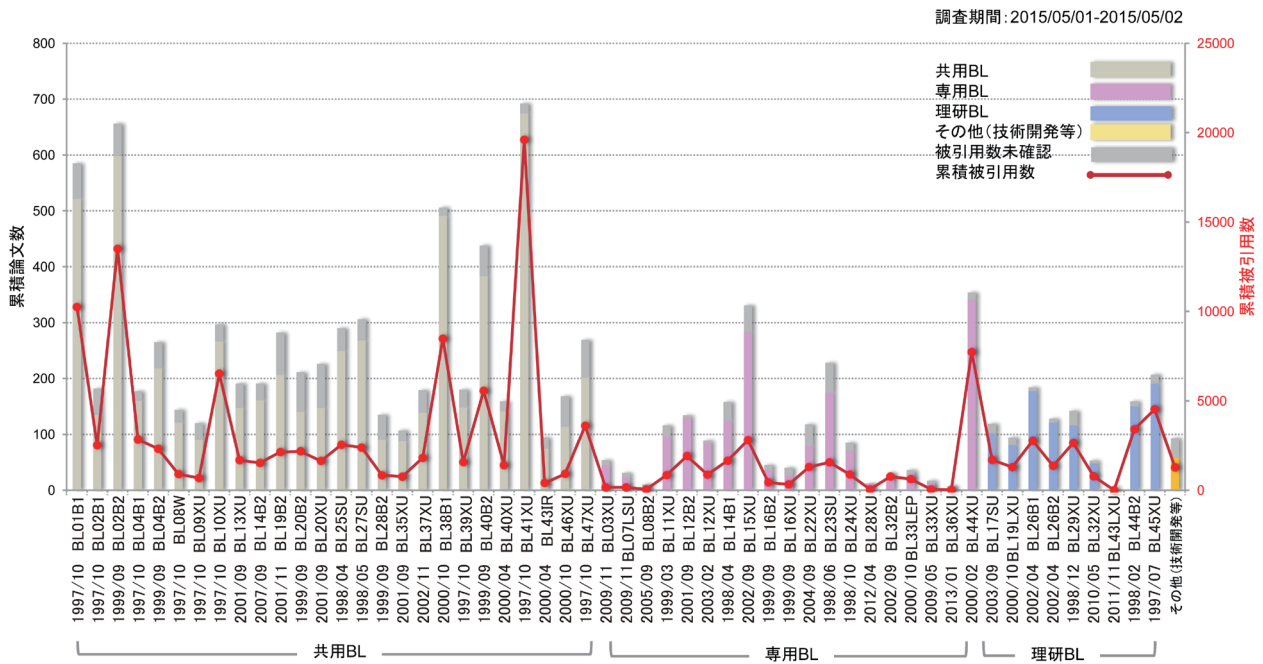
調査期間：2015/05/01-2015/05/02



*1：検索 DB (Thomson Reuters Web of Science) 未登録のため、被引用数が確認出来ない論文は「被引用数未確認」に計上する。

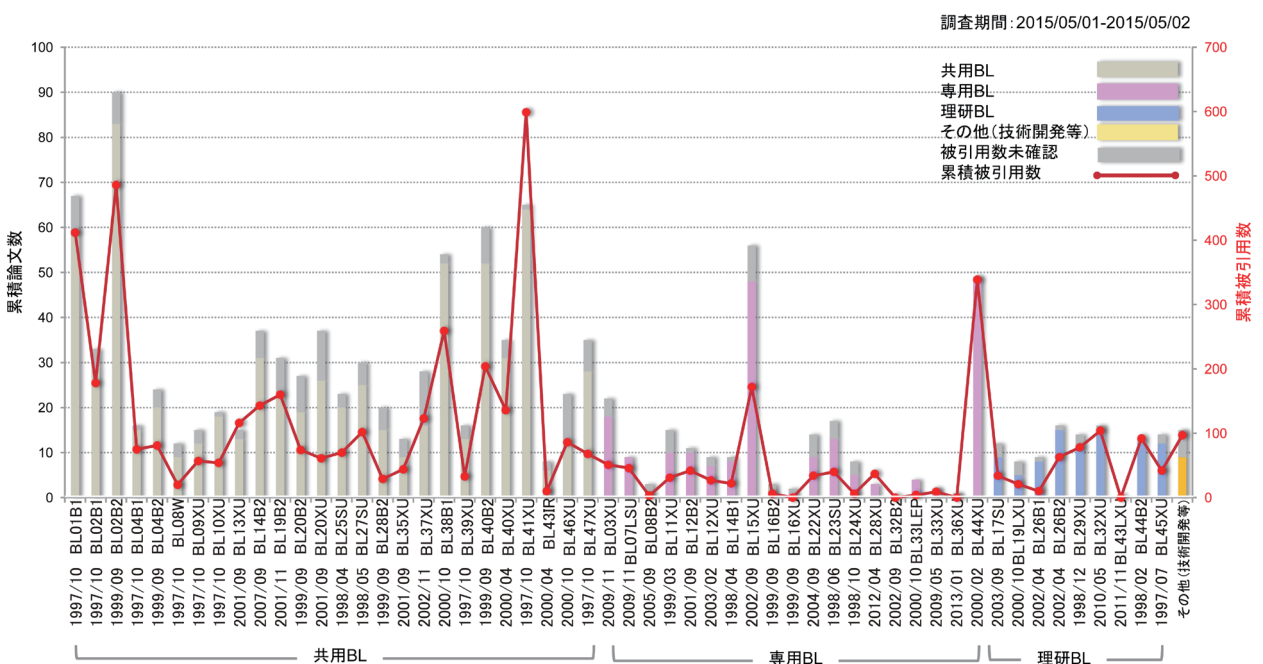
*2：一つの論文が異なる複数の BL に関わる共通の成果とみなせる場合、各 BL それぞれに計上する。

4. SPring-8のBL別累積論文数と累積被引用数の比較 (2004-2014)



*1: 検索DB (Thomson Reuters Web of Science) 未登録のため、被引用数が確認出来ない論文は「被引用数未確認」に計上する。
 *2: 一つの論文が異なる複数のBLに関わる共通の成果とみなせる場合、各BLそれぞれに計上する。

5. SPring-8のBL別年間総論文数と総被引用数の比較 (2013年の発表論文)



*1: 検索DB (Thomson Reuters Web of Science) 未登録のため、被引用数が確認出来ない論文は「被引用数未確認」に計上する。
 *2: 一つの論文が異なる複数のBLに関わる共通の成果とみなせる場合、各BLそれぞれに計上する。

6. 2013年発行論文の被引用数ベスト10

SPring-8/SACLA 利用関連論文の被引用数ベスト10 (2013)

| # | 回数 | BL | 実験責任者 | タイトル | 主著者 | 所属 | 投稿先ジャーナル名 |
|----|----|------------------|---------------------------------|---|-------------------|--|--|
| 1 | 99 | BL19B2 | Osaka, Itaru | Naphthodithiophene-Naphthobisthiadiazole Copolymers for Solar Cells: Alkylation Drives the Polymer Backbone Flat and Promotes Efficiency | Osaka, Itaru | Hiroshima University, RIKEN | JOURNAL OF THE AMERICAN CHEMICAL SOCIETY |
| 2 | 61 | BL02B2 | Yamada, Teppei | Designer Coordination Polymers: Dimensional Crossover Architectures and Proton Conduction | Yamada, Teppei | Kyoto Univ | CHEMICAL SOCIETY REVIEWS |
| 3 | 55 | BL13XU | Kitagawa, Susumu | Shape-Memory Nanopores Induced in Coordination Frameworks by Crystal Downsizing | Sakata, Yoko | Kyoto Univ, Japan Sci & Technol Agcy | SCIENCE |
| 4 | 52 | BL44B2 | - | Promoting Formation of Noncrystalline Li ₂ O ₂ in the Li-O ₂ Battery with RuO ₂ Nanoparticles | Yilmaz, Eda | RIKEN | NANO LETTERS |
| 4 | 52 | BL41XU | - | Structure of a Presenilin Family Intramembrane Aspartate Protease | Li, Xiaochun | Tsinghua Univ | NATURE |
| 6 | 42 | BL41XU | Ohto, Umeharu | Structural Reorganization of the Toll-Like Receptor 8 Dimer Induced by Agonistic Ligands | Tanji, Hiromi | Univ Tokyo, RIKEN | SCIENCE |
| 6 | 42 | BL3 | - | Focusing of X-ray Free-Electron Laser Pulses with Reflective Optics | Yumoto, Hirokatsu | JASRI | NATURE PHOTONICS |
| 8 | 39 | BL02B2 | Sakamoto, Ryota Sasaki, Sono | π -Conjugated Nickel Bis(dithiolene) Complex Nanosheet | Kameda, Tetsuya | Univ Tokyo | JOURNAL OF THE AMERICAN CHEMICAL SOCIETY |
| 9 | 38 | BL41XU | Yan, Nieng | Structural Basis for the Modular Recognition of Single-Stranded RNA by PPR Proteins | Yin, Ping | Tsinghua Univ | NATURE |
| 10 | 37 | BL41XU BL44XU | Hirano, Yoshinori | Structures of D14 and D14L in the Strigolactone and Karrinkin Signaling Pathways | Kagiyama, Megumi | Nara Institute of Science and technology | GENES TO CELLS |